

現在昭和25年以前の資料及びフランクトン・栄養塩類・酸素等の関連資料について整理・解析を終つていないが、釧路沖暖水塊の発生については先きに述べたように黒潮前線から直接 cut offされた暖水塊が北上して、親潮前線をこえて親潮域中に入り、釧路沖暖水塊となると考えるよりはむしろ、黒潮の近海北上分派（或る時は沖合北上分派もありうると考えられる）の先端が千切れてそのまま親潮域中に入ると考えたほうがよいと考えられ、更に場合によつては津軽暖流が一時的に東方に強く張出して、その先端部が親潮接岸分枝によつて cut offされ、親潮域の中に東進していく場合もあるのではないかということについても説明した。何れにしてもかなり大きな暖水塊（100m層で直径75海里）であり、而も厚みも数百mもある水塊が千切れるという現象であるから、単にその海域における強風の連吹といつたことで起るものではなく、千切れる直前・直後の親潮・黒潮・津軽暖流等の関連海流系に大きな変動が起つて、それが原因で黒潮（稀に津軽暖流）系高温高咸水帶から親潮域内への暖水塊の cut offが起るのであろう。

3 釧路沖の暖水塊について — 特に親潮との関聯

秦 克己（函館海洋気象台）

1 はじめに

釧路沖の暖水塊については、過去その調査・報告は殆んど見られない。今回この機会に、1950年以降気象庁・水産庁・保安庁関係の海洋観測結果から、釧路沖の暖水塊と親潮との関聯について若干調査したので報告する。なお釧路沖の暖水塊としては、一応 40°N 以北、 14°E 以西の海域に出現したものに限定した。

過去の多くの観測結果より、釧路沖に右旋環流を形成している暖水塊が存在する場合、暖水域として金華山沖から舌状にのびて釧路沖に達する場合や、又その海域が殆んど親潮系水に覆われて、暖水塊又は暖水域が存在しない場合もあつて、この暖水塊の出現・移動・接岸等によつて釧路沖の海況は年により季節により大きく変動しているのが見られる。通常この暖水塊は100m層の水温で $4\sim12^{\circ}\text{C}$ 、塩素量の最大が $18.60\sim19.20\text{‰}$ 、表面流速が親潮域より大きく $0.4\sim1.5\text{kt}$ の間で変化している。

2 東北海区における各海流別の流量について

杉浦（1954、55）、増沢（1955）、平野（1958）、秦（1962、65）等の報告から、東北海区における流量の模式図を各海流別に示したのが第1図である。これによると房総沖を東流する黒潮主流の流量は $4.0\sim6.0\times10^6\text{ m}^3/\text{sec}$ 、金華山沖に出現する暖水塊の流量は $1.0\sim3.0$ であつて、黒潮主流の約半分以上の流量を示した大型暖水塊は過去数回（1954年2

月、1960年9月)出現しているが、殆んどが15内外の流量を示し、黒潮主流の数分の1程度である。一方親潮接岸分枝の南下流量は釧路沖で $1 \sim 4 \times 10^6 m^3/sec$ で、津軽暖流とほぼ同程度と算出されている。第2図に示したのは、釧路沖で近年になく暖水塊が発達した年である1960年8~9月のQ分布である。

$$Q = \int_0^d \Delta D \, dz$$

ΔD : ダイナミック・アノマリー

z: 観測層の深さ

d: 基準面の深さで今回 600 m

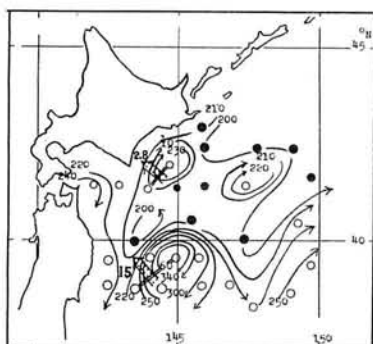
$$T_x = \frac{10}{\lambda} \frac{\partial Q}{\partial y}, \quad T: \text{流量}$$

$$\lambda = 2 \Omega \sin \varphi$$

$$T_y = \frac{-10}{\lambda} \frac{\partial Q}{\partial x} \quad A, B 2 \text{ 点間の流量は}$$

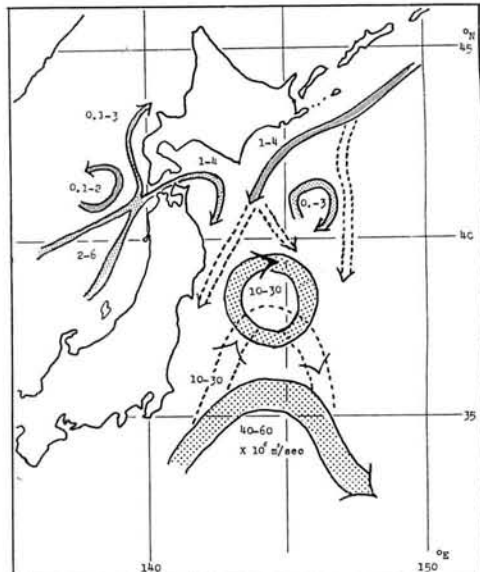
$$T = \frac{10}{\lambda} (Q_A - Q_B)$$

この分布から釧路沖の暖水塊の流量は $2.8 \times 10^6 m^3/sec$ 金華山沖の暖水塊の流量は $1.5 \times 10^6 m^3/sec$ と算出され、釧路沖の暖水塊の流量はこれの約5分の1程度に相当するものである。又釧路沖の暖水塊の流量は通常 $1 \sim 2 \times 10^6 m^3/sec$ 程度であつて、親潮の半分以下となつている。



第2図 1960年8~9月Q分布。 黒潮主流から、金華山沖に新しく暖水塊が発生する時に、以前金華山沖にあつた暖水塊が新しく発生した暖水塊によつて押し上げられて、釧路沖に出現する。この押し上げられた暖水塊は大きく変質せず、その中心付近の塩素量は19.10‰以上で、黒潮に近い水塊を示している。この場合この暖水塊は釧路沖に著しく接岸する。又暖水域が金華山沖から釧路沖に張り出し、その北端がCut-offされ形成された暖水塊は可成り変質され、黒潮と親潮の中間の水塊でその塩素量は18.80~9.0‰となつてゐる。この場合その暖水塊は比較的沖合に分布することが多い。このように黒潮主流のメアンダーや親潮(接岸・沖合分枝)のパターンによつて、釧路沖の暖水塊が接岸・離岸が決定づけられるものではないかと考えられる。

釧路沖の暖水塊の接岸度から見て、次のA, B, C, Dの4つの型に分類される。すなわち



第1図 海洋別流量の模式図。

A型：ほぼ一年を通じて、例年より北海道南東岸近くに暖水塊が分布する場合（1960、62）

B型：5～8月以降急激に暖水塊が接岸する場合（1956、58、61、63、64、65）

C型：一年を通じて釧路沖に暖水塊が出現しない場合、又はかなり沖合に分布する場合（1954、59）

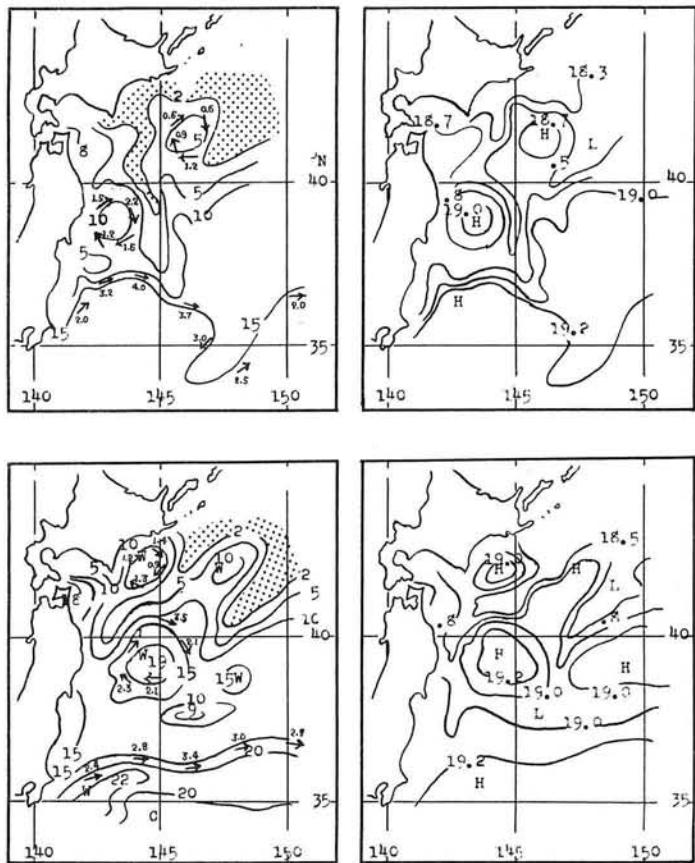
D型：その他の場合（1955、57、66）

（I）A型分布

A型分布として1960年2～3月、8～9月における100m層水温・塩素量・表面流速分布を示したのが第3図である。

この分布から2～3月に

100m層で5°C、18.7‰以上の暖水塊は釧路沖にあつて、その表面流速が0.6～1.2 ktの右旋環流を形成している。又金華山沖には暖水塊（10°C、19.0‰以上）があつて、その表面流速が1.2～2.2 ktの環流を形成している。夏季8～9月には、釧路沖に2～3月よりも高温・高かんな暖水塊（10°C、19.0‰以上）が0.9～1.4 ktの環流を形成しており、又金華山沖にも同様2～3月よりもさらに高温・高かんな大型暖水塊（19°C、19.2‰以上）が、黒潮主流の流速に相当する2.1～3.5 ktの環流を形成している。釧



第3図 100m層水温・塩素量・表面流速分布
(1960年2～3月、8～9月)。

路・金華山沖の暖水塊の中心付近におけるT-C1曲線を示したのが第4図である。夏季金華山沖の暖水塊のT-C1曲線を見ると、300mまで19.0‰以上、塩素量の最大値は100m層で19.3‰、200m層水温が15.5°C等の点から、黒潮主流部の曲線とほぼ同じであり、又その最大流速は北辺で3.5 ktを示していることから、この暖水塊は形成されて間もない新しいものと考えられる。この暖水塊の形成にともない、2～3月金華山にあつた暖水塊が押し上げられ、多少親潮と混合し、表層は日射により昇温し、右旋環流のため下降流をともなつていて、塩素量の極大値

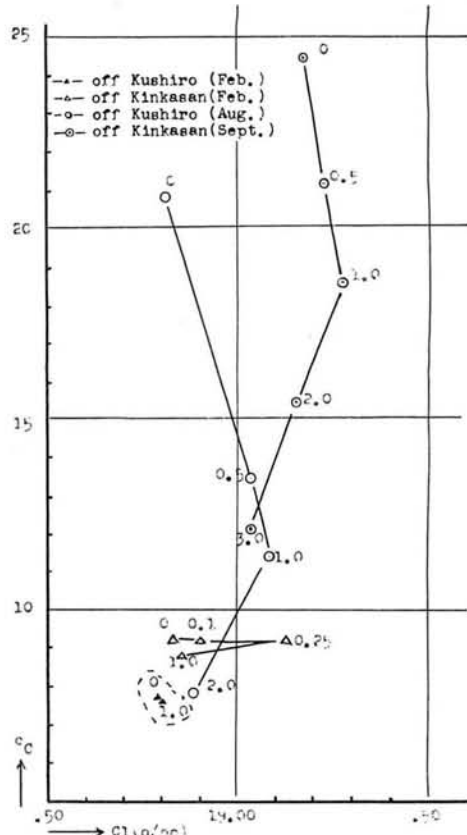
は2-3月で25m層(19.12%)にあつたが、8-9月に100m層(19.10%)に現われている。このため2-3月釧路沖にあつた暖水塊(7°C, 18.8%)はこの観測海域外に移動したか、又は消滅したかどうかであると推定される。

第5、6図は1962年2-3月および4、6、7、8、9、10月の各月における100m層水温分布と暖水塊の中心付近におけるT-C1曲線を示したものである。2-3月暖水域の北辺が、例年より釧路沖で接岸し、金華山沖に暖水塊(15°C)がある。この暖水塊は序々に北上し、4月に宮古沖、6月に釧路沖に達し、その中心付近の100m層水温は15、12、10°Cと漸次下降の傾向が見られる。この暖水塊は6月以降10月まで北海道南東岸に接岸し、ほぼ同じ位置に持続して存在しているのが注目される。一方親潮について、2-3月その接岸分枝の南下は例年より弱く、その巾も狭くなつておらず、4月には金華山沖に冷水域を形成しているのみである。沖合分枝については2-3月14.8°E付近に舌状の張り出しが見られ、4月には14.7°E付近にその影響が見られ、6月にはその南下が最も著しく、その中冷水(2°C以下)は38.5°N付近まで南下し、その巾も広くなつてある。この傾向は7月以降10月まで持続している。

第6図の下図は釧路・金華山沖の暖水塊の中心付近における月別のT-C1曲線であつて、2-3月金華山沖にあつた暖水塊が日射や親潮の影響を受けてやや高温低かんになりつつ北上し、6月に釧路沖に達したものと考えられ、8月における釧路沖暖水塊の塩素量は50-100m層で19.10%前後を示している。

(2) B型分布

第7図はB型分布の代表的な年である1961年2-3月および5、6-7、8-9、10月の各月における100m層水温分布を示したものである。2-3月暖水域の舌状の張り出しが、釧路沖で例年より離岸しており、金華山沖には表面流速が1.5-3.2ktの環流で形成された暖水塊が見られる。一方親潮接岸分枝は北海道南東沖を例年より巾広く南下し、その先端は39°N付近に達し、この傾向が6-7月まで持続している。この年は近年まれに海水群が太平洋側の釧路沖に流出した年であつて、親潮中冷水(2°C以下の水塊で示めされる)の巾が2-3月以降6-7月まで極めて広く分布している。8-9月の分布では、このパターンが急変し、親潮沖合分枝の張り出し

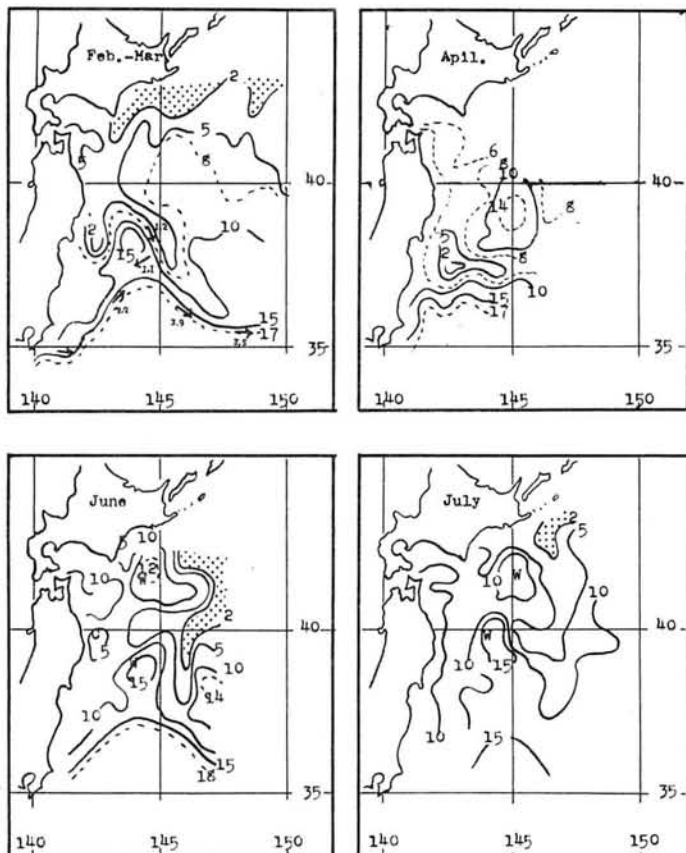


第4図 釧路・金華山沖の暖水塊の中心付近におけるT-C1曲線(1960年)。

が著しく強くなり、逆に接岸分枝の巾が狭くなつてゐる。又 $0.4 \sim 1.3 \text{ kt}$ の環流で形成された暖水塊が北海道南東岸に接岸しておあり、秋季までこの様な分布が持続している。この様なB型分布の年は54年以降ほぼ50%に相当し、比較的多く、一般的な型と考えられる。

(3) C型分布

第8図はC型分布の代表的な年である1954年2～3、5、8～9、11月の100m層水温分布を示したものである。2～3月では釧路沖合がほとんど親潮域で覆われていて、暖水塊又は暖水域の張り出しへ見られず、親潮接岸分枝は 143°E 付近を、沖合分枝は 147°E 付近を南下している。金華山沖にはその流量が $30 \times 10^6 \text{ m}^3/\text{sec}$ の大型暖水塊があつて、その100m層水温が 16°C 、塩素量の最大値が19.28‰となつてゐる。5月の分布では親潮沖合分枝は2～3月よりさらに南下し、その先端は 145°E 付近で 37°N 付近まで達し、金華山沖の暖水塊は2～3月より西方にかたより変形している。釧路沖合には、2～3月と同様水塊の出現は見られない。8～9月の分布でも同様釧路沖合に暖水塊は見られない。11月の分布では宮古沖を中心をもつ暖水塊があり、釧路沖の観測資料が不足しているため確定されないが、等温線の走向から推定して、釧路沖には暖水塊が出現していないものと考えられる。この様に一年を通じて釧路沖に暖水塊（域）が出現しないC型分布の年はA型分布と同様比較的少ない。以上A、B、C型の分布について簡単に説明した。



第5図 100m層水温分布

(1962年2～3月、4、6、7月)。

4. 親潮接岸分枝の変動

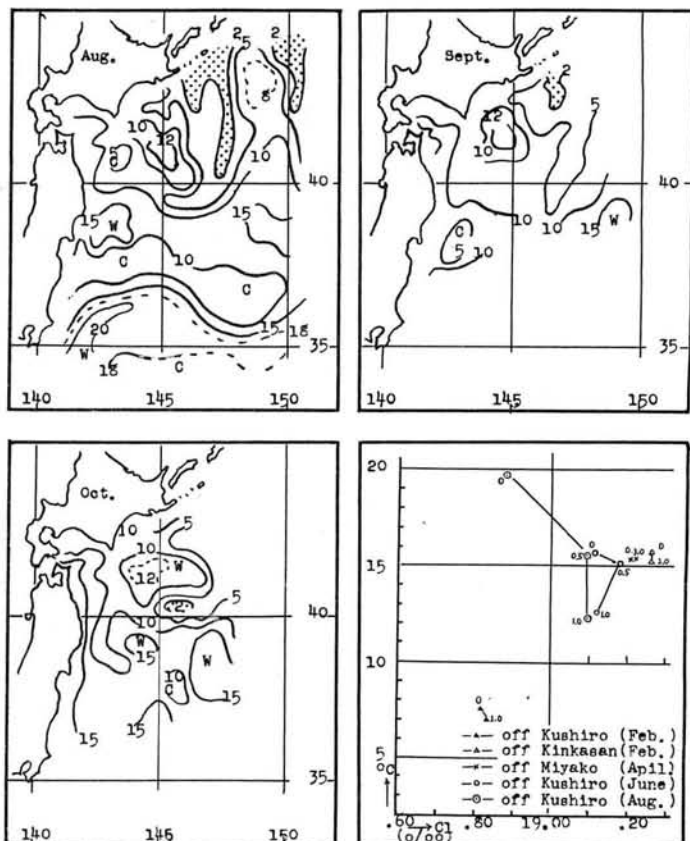
親潮接岸分枝域は主として、 146°E 以西の北海道南および南東沖の海域であつて、この海域の季節別な観測は 1950 年以降、函館海洋気象台の旧観測船夕汐丸によつて実施されて來たが、沖合分枝域の観測は断続的しか見られない。

このため今回はその接岸分枝の変動について、その南下流量とその中冷水 (2°C 以下の水塊) について述べる。

(1) 中冷水について

尻屋崎東方沖 (41.5°N) 線上において 142°E

から 145°E 間の水温鉛直分布 ($0 \sim 600\text{m}$)



第 6 図 100m 層水温分布・暖水塊の中心付近における
T-C1 曲線 (1962年 8, 9, 10月)。

を作成し、その代表的な分布を第 9 図の左図に示す。1953 年 3 月ではその中冷水が 500m 層まで達し、厚く又広く分布しているが、これと逆に 1965 年 2 月の分布ではその中冷水が極めて弱勢である。1950 年以降 2 ～ 3 月、5 月、8 ～ 9 月、11 月の季節別に断面における中冷水の面積を算出してプロットしたのが第 8 図の右図である。その極大は 1958 ～ 54 年、61 年に、極小は 50 ～ 51 年、58 年、64 年にあつて、最近数年間は弱勢の傾向が持続している。第 9 図の右下図は同じ年における冬季 2 ～ 3 月と夏季 8 ～ 9 月中冷水の面積についての関係をプロットしたもので、ほぼ直線上に乗つている。このことは冬季に中冷水が広く分布している年の夏季も同様広くなつてることを示すものである。例外年として 1961 年があげられるが、この年は冬季から春季まで広く分布していた中冷水が、その夏季急に狭くなつていて、前記した如く海氷によるものと考えられる。この中冷水が比較的発達した年には釧路沖において、暖水塊は発達せず、又接岸しない傾向が見られる。

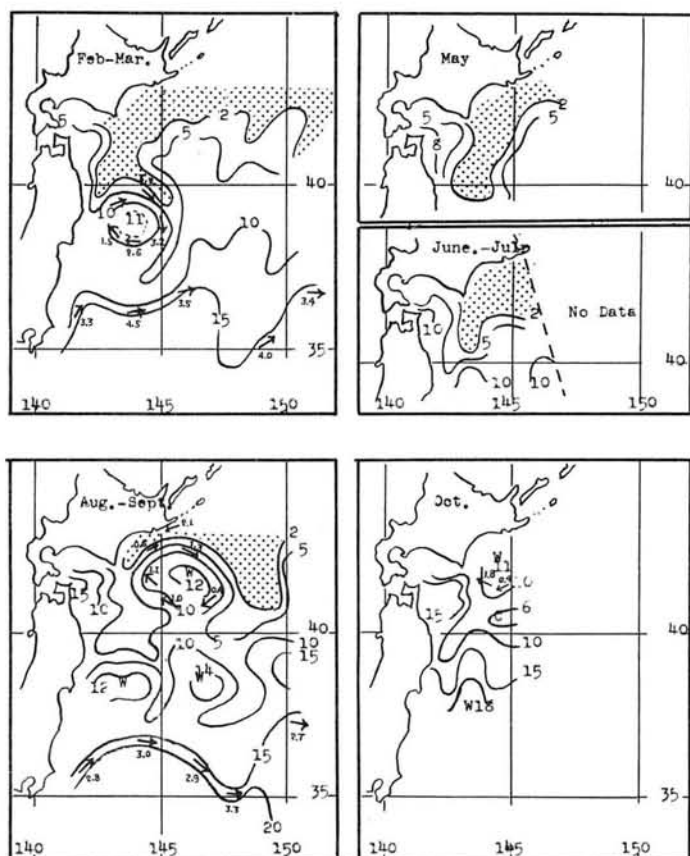
(2) 南下流量

第10図は親潮接岸分枝の南下流量を1950年以降季節別にプロットしたもので、これから特に釧路沖の暖水塊に関係のある夏季の変動について見ると、

1954～55年、64年が大きく、1953年、

63年、65年は並程度、その他の年は $2 \times 10^6 m^3/sec$ 以下で例年より小さくなっている。釧路沖暖水塊の接岸が著しい年の親潮接岸分枝の南下流量が小さいのは当然であるが、

1963年は例外年となつている。



第7図 100m層水温分布。

(1961年2～3月、5月、6～7、8～9、10月)

第1表は釧路沖暖水塊の分布型式にたいする親潮と津軽暖流の張り出しとの関係を示すものである。一般的に暖水塊が八戸沖から釧路沖に接岸して分布する場合は親潮接岸分枝の南下が弱く、沖合分枝の南下が顕著で、又津軽暖流の張り出しが例年より狭くなっている。又暖水塊が例年より沖合に分布する場合前記と逆な海況を呈している。全般的には暖水塊の接岸度と親潮分枝のパターン、および津軽暖流の張り出しの関係は見出されるが、2～3の例外年があつて、この点について今後の調査にまちたい。

5. 秋季から翌年 2~3月に

における暖水塊について

秋季 11 月の 100 m 層

水温分布を点線で、翌年 2

~3 月の水温分布を実線で

画いたのが第 11 図である。

この左上図の 1954 年

11 月と 1955 年 2~3

月において、秋季に宮古沖

100 m 層の水温が 14

°C を示す暖水塊があり、翌

年 2~3 月にほぼ同じ海域

に暖水塊があつて、その

100 m 層水温は 5 °C を示

している。この両者間に連

続した観測資料が無いので、

同じ暖水塊と確定すること

が出来ないが、各年の水温

分布の経過からして、ほぼ

同じ暖水塊として取扱つてよいものと

考えられる。1954 年 11 月から

1955 年 2~3 月の暖水塊の水温は

100 m 層で約 9 °C の降下が見られる。

又次の 1955 年から 1956 年の推

移を見ると、この年には暖水塊は宮古

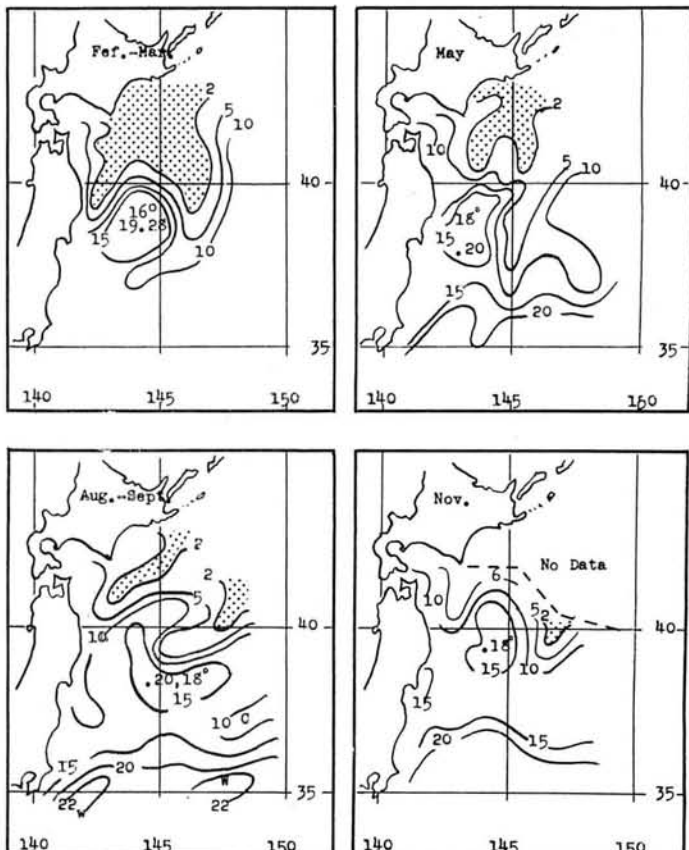
沖になく、釧路沖にあつて、この時の

水温降下は前者よりも小さく約 4 °C 程

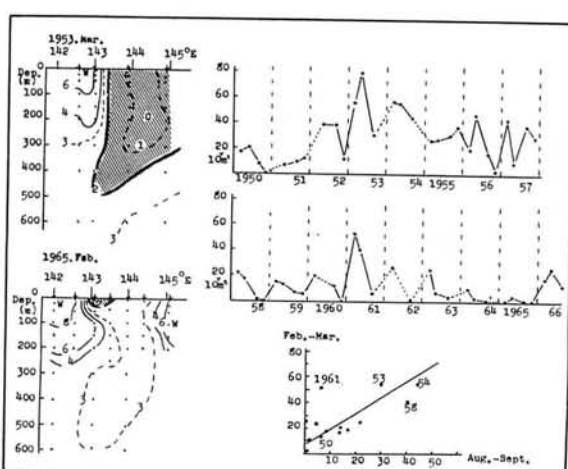
度である。1957 年から 1958 年

の推移において、秋季に宮古沖と釧路

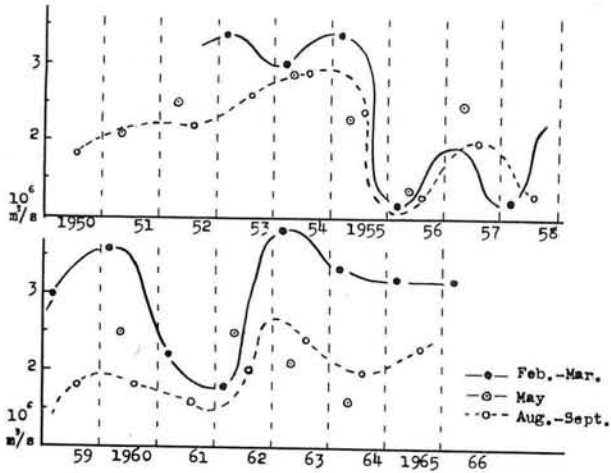
沖とに 2 つの暖水塊があつて、それぞ



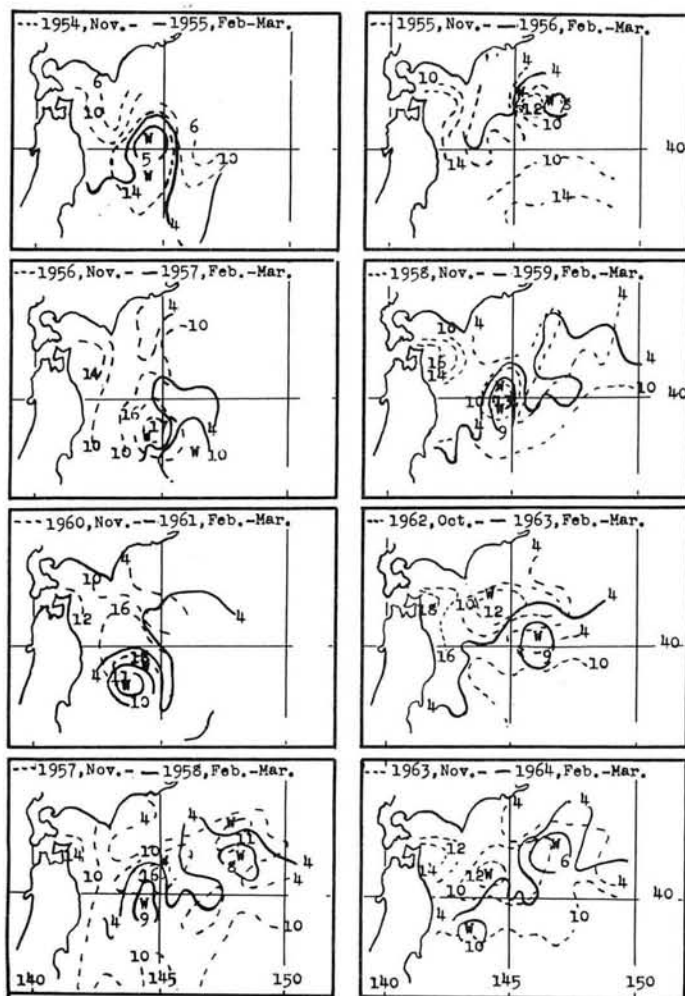
第 8 図 100 m 層水温分布(1954 年 2~3 月、5、8~9、11 月)。



第 9 図 尻屋崎東沖の水温鉛直分布および中冷水(2 °C 以下)の変化図。



第10図 薊潮接岸分枝の南下流量の変化図。



第11図 秋季11月の100m層水温分布に対する翌年2~3月の水温分布。

れ100m層の水温は16°C、11°Cを示していたが、翌年2~3月には、その暖水塊の中心は幾分南に移り、その100m層の水温は9°C、8°Cとなり、宮古沖の暖水塊の水温降下は7°Cと大きく、釧路沖の暖水塊は小さく3°Cとなつていて。秋季から翌年冬季にかけて暖水塊の水温が著しく降下する Typeとこの降下が小さいTypeとがあつて、これを2つのTypeに分類してType 1、2とすると、暖水塊の中心が襟裳岬南東沖線上より南西側の三陸沿海に分布していく、その水温降下が著しいのをType 1とする。暖水塊の中心が襟裳岬南東沖線上より北東側の北海道南東沖に分布していく、その水温降下が小さいのをType 2と類別して示したのが第2表である。例外年として1963年から1964年の分布であつて、秋季には八戸沖から釧路沖にかけての暖水塊が見られるが、これが翌年2~3月には釧路沖と金華山沖に暖水塊が2つ見られる。

第1表

	年	暖水塊の接岸		親潮分枝				津軽暖流		
		2~6月	7~11月	沖合	接岸	流量	中冷水	前半	後半	
A型	1960	○	◎	◎	○	並	少	狭	狭	
"	62	◎	◎	◎	×	小	少	狭	狭	
B型	1956	○	◎	○5	○	小	並~少	狭	並	5:5月以降
"	58	×	○	○7	○	小	少	広	並	7:7月以降
"	61	○	◎	○8	○~7	小	多→少	狭	狭	~7:7月まで
"	63	○	○	○8	○	大	少	並	並	8:8月以降
"	64	○	○	○8	○	並	少	並	並	"
"	65	○	○	○5	○	並	少	狭	並	5:5月以降
C型	1954	×	×	◎	◎	大	多	狭	狭	
"	59	×	×	○	○	並	少	広	並	
D型	1955	×○	×	×	○	大	やや多	並	並	
"	57	×	○	○	○	並	並	広	並	
"	66	×	○	○	○	並	並	並	並	

暖水塊の接岸度 ◎極めて著しい ○著しい ○並 ×離岸 ×暖水塊なし

親潮分枝の南下 ◎ " ○ " ○ " ×弱い ×非常に弱い

第2表

Type 1 降下量℃	Type 2 降下量℃
1954~55 (-9)	1955~56 (-4)
1956~57 (-7)	1958~59 (-4)
1960~61 (-8)	1962~63 (-3)
1957~58 (-7) (八戸沖)	1957~58 (-3) (釧路沖)

以上のように水温降下が著しく異つた暖水塊についてその原因是親潮との混合の問題、蒸発による海面よりの冷却等が考えられるが、これに関しては今後の調査にまちたい。

文 献

J. Masuzawa (1955) : An Outline of the Kuroshio in the Eastern Sea of Japan

杉浦 (1954) : 海流の輸送から見た1950年春夏季の東北海区の海況

Sugiura (1955) : On the Transport in the Eastern Sea of Honshu

Hirano (1958) ;

秦 (1962) : 北部日本海における輸送水量から見た海況変動

秦 (1965) : 親潮域における輸送水量の変動について

4 釧路沖暖水塊を中心とするサバの回遊と漁況

佐藤祐二 (東北区水産研究所八戸支所)

三陸北部から道東沖合にいたる太平洋岸は1955年頃からわが国における有数のサバ漁場として注目されるようになつた。とくに道東釧路沖のまき網漁場は1959年の漁場開発以来、第1表に示したような着実な歩みを見せて毎年7~9月の漁期間に5~10万トン程度の漁獲をあげている。

道東まき網漁場における最近の漁・海況を対比すると、漁況の好・不調と同海域における釧路沖暖水塊の形成およびその道沿岸への接岸度の間に一定の対応がみられ、漁況予測の精度を高める立場から、暖水塊の年々の消長の解明は重要な課題と考えられている。

第1表 道東まき網着業統数・陸揚量の変遷

	着業統数	陸揚量
1959年	1ヶ統	231トン
1960年	9 "	4,697
1961年	4 "	10,225
1962年	20 "	35,927
1963年	14 "	69,033
1964年	21 "	49,713
1965年	23 "	110,970
1966年	23 "	54,000
1967年	24 "	85,000

今回は道東まき網漁場に来遊する魚群の特性・漁況の推移・漁況と海況の対応関係について概説的に報告する。

1) 道東に来遊する魚群のポビュレーション構造および漁獲物の性質。

道東まき網漁場に来遊して漁獲されるサバは房総半島沖合や伊豆諸島近海を発生源とする(伊豆-三陸-道東)の系列の太平洋系群に属するものである。このことは各機関が実施した標識放流の結果で確証が得られており、関東近海で春季に放流された魚がその年の夏に道東漁場で再捕された例

が2、3得られているし、また南下期の例としてこの逆のルートの放流・再捕例が多数得られている。

春季(4月)産卵を終えた成魚群は北上して *Euphausiacea*, *Copepoda* 等を主要な餌料としながら道東近海にいたり夏季に多獲される。